

---

## **التحليل المكاني لمقارنة نموذجي الاستكمال المكاني التحليل المكاني لمقارنة نموذجي الاستكمال المكاني لاستنبط الحرية الحرارية واستخراج درجات حرارة سطح الأرض في المرئيات الفضائية IDW في محافظة دهوك ضمن بيئة برنامج ArcGIS 10.4.1**

---

الباحث : أ.م. د. مزكين محمد حسن  
جامعة دهوك، كلية العلوم الإنسانية قسم الجغرافيا  
 مديرية الانواع الجوية لمحافظة دهوك، قسم GIS

### **الملخص**

تلعب تطبيقات تحليل الأحصائي الأرضي Geostatistical Analyst دوراً بارزاً في معالجة البيانات المكانية من حيث تفسيرها وتحليلها وعرضها وتقديم نماذج تحاكى الواقع وتقدم مقاربات لمشاكل ذات طابع مكاني تحتاج إلى حلول. وفي إطار هذا البحث تم العمل على تقديم نموذجين لإستنبط درجات حرارة سطح الأرض لمحافظة دهوك وهما طريقة المسافة المعاوسة الموزونة IDW وطريقة درجة حرارة السطح LST ضمن بيئة برنامج Arc GIS 10.4 وذلك للوصول إلى طريقة للحصول على بيانات درجات الحرارة غير المتوفرة عن بعض مناطق محافظة دهوك، بالإضافة إلى مقارنة نتائج النموذجين، وقد تم استخدام بيانات درجات الحرارة في المحافظة وبيانات المرئيات الفضائية من Land sat 8 (Band 10,11) ولنفس التاريخ. أن نتائج هذا البحث تفتح المجال أمام الباحثين ومصممي برامج GIS وخصوصاً أدوات التحليل الأحصائي للبحث عن ما هو ضروري ضمن هذه التقنية (الإضافة) بغية تسهيل وتسريع نتائج البحث وبالتالي إيجاد صفة الدقة في النتائج.

### **المقدمة:**

تقوم فكرة البحث على إيجاد أفضل طريقة للحصول على البيانات غير المتوفرة للحرارة في محافظة دهوكإقليم كورستان - العراق، خصوصاً لمناطق التي يصعب الوصول إليها لأسباب معينة. تكمن مشكلة البحث في أن عدد المحطات التي تقيس درجات الحرارة بشكل مستمر قليلة (٨ محطة)، وهكذا فإن أغلب مناطق المحافظة لا تتوفر عنها بيانات درجات الحرارة. يهدف البحث إلى إيجاد طرق بديلة في حالة عدم وجود بيانات حرارية وذلك باستخدام نموذج الاستكمال المكاني ونموذج استخراج درجات الحرارة لسطح الأرض عن طريق المرئيات الفضائية في بيئة برنامج ArcGIS ومقارنتها بالبيانات الحقيقة لمناطق التي تتوفر فيها البيانات بغية الوصول إلى نتائج دقيقة. يفترض البحث أن هناك اختلاف قليل بين نموذج الاستكمال المكاني ونموذج استخراج درجات حرارة السطح من المرئيات الفضائية، وأن هناك تشابه كبير لنموذج استخراج درجات حرارة السطح من المرئيات الفضائية وبيانات المحطات للأنواع الجوية. يتبع البحث منهج التحليل المكاني ضمن بيئة نظم المعلومات الجغرافية فضلاً عن استخدام المنهج المقارن للوصول إلى نتائج النموذجين. يتكون البحث من جزئين، خصص الأول للدراسة النظرية حول النموذجين واليه تطبيقهما، وتناول الجزء الثاني نتائج النموذجين ومناقشتهما.

أ.م. د. مزكين محمد حسن أ: ريدار نبيل عبدالرحمن  
منطقة الدراسة:

تقع محافظة دهوك فلكياً بين خطي الطول ( 42,20,55 ) و ( 44,18,15 ) شرق خط غرينويج حيث يمر اولهما بغرب قضاء زاخو والذي يشكل الحدود الغربية للمحافظة مع الاراضي السورية، أما الثاني فيمر بشرق قضاء تاكري و الذي يشكل الحدود الشرقية للمحافظة مع محافظة أربيل، و تمتد بين دائرتى العرض ( 36,19,24 ) و ( 37,22,55 ) شمالاً، الأولى تمر بالأجزاء الجنوبية من المحافظة وتحدد أقصى امتداد لها نحو الجنوب عند جنوب مدينة كلك. وتحدد الدائرة الثانية أقصى امتداد لاراضي المحافظة نحو الشمال وتمر بالاجزاء الشمالية من ناحية دركار في قضاء زاخو. تحيط المحافظة الأجزاء الشمالية الغربية من أقليم كورستان العراق لتشكل أراضيها جزءاً من حدود العراق والأقليم مع الجمهورية التركية من ناحية الشمال، بينما يحدها جزءاً من الاراضي السورية في الغرب ومحافظة نينوى في الأجزاء الجنوبية والجنوبية الغربية، أما من ناحية الشرق والجنوب الشرقي فتحدها محافظة أربيل الخارطة (١).

الخارطة (١)  
الموقع الجغرافي لمحافظة دهوك



المصدر: عمل الباحثين

١. الجانب النظري:

١-١ البيانات المستخدمة:

- بيانات درجات الحرارة بتاريخ ٢٠١٦/٨/١١ الساعة ٧ - ٨ صباحاً

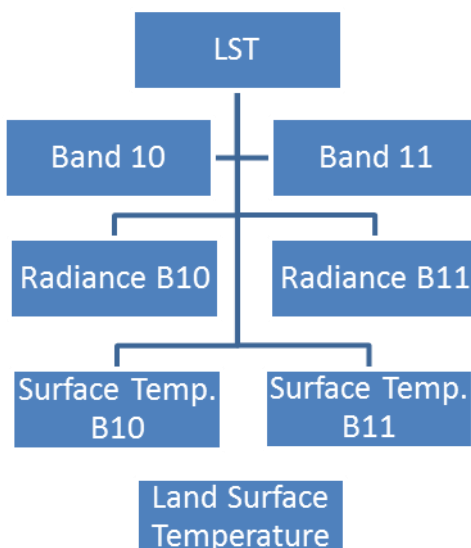
## التحليل المكاني لمقارنة نموذجي الاستكمال المكاني

- بيانات المرئيات الفضائية من ٨ Band (Landsat 10,11) بتاريخ ٢٠١٦/٨/١ الساعة ٤٥:٧ صباحاً.

### ١- طريقة عمل النماذجين:

١-٢-١ نموذج استخراج درجات الحرارة من المرئيات الفضائية (LST): يلخص هذا النموذج بـ Land Surface Temperature (LST) وهو عبارة عن استخراج درجات سطح الأرض من خلال الاستفادة من الطيف الحراري في مرئيات لاندسات<sup>١</sup>. فمنذ عام ٢٠١٣ وبعد اطلاق القمر الصناعي Landsat8 تم إضافة حزمتي ١٠، ١١ و اللتان تعرفان بالحزمتين الحراريتين Thermal Bands<sup>٢</sup>. يمر هذا النموذج في ثلات مراحل وهي كما في الشكل رقم (١):

الشكل (١) نموذج LST لاستخراج درجات حرارة سطح الأرض



المصدر: عمل الباحثين بالاستفادة من:

- Cook, M., & Schott, J. R. (2014). Atmospheric Compensation for a Landsat Land Surface Temperature Product. Landsat Science Team Meeting, July 22-24, 2014; Corvallis, Oregon, USA.
- Hulley, G. C., Hook, S. J., Abbott, E., Malakar, N., Islam, T., & Abrams, M. (2015). The ASTER Global Emissivity Dataset (ASTER GED): Mapping Earth's emissivity at 100-meter spatial scale. Geophysical Research Letters, 42(19),
- 

<sup>1</sup> Jimenez.Munuz, J.C, Sobrino, J.A. A generalized single channel method for retrieving land surface temperature from remote sensing data. H. geophys. Res. Atmos.v.108 Issn D22. 2014. ,p. 103

<sup>2</sup> Zanter, K. Landsat8 data users' handbook, ver.2, 2016. U.S.G.S. p.65.

أ.م. د. مزكين محمد حسن أ: ريدار نبيل عبدالرحمن

• المرحلة الأولى: استخراج درجة الاشعاع في الغلاف الجوي

Atmosphere Radiance

يتم استخراج درجة الاشعاع في الحزمة الحرارية وفق المعادلة التالية<sup>٣</sup> :

$$(L\lambda = ML * Qcal + AL)$$

حيث أن:

$L\lambda$  = TOA spectral radiance (Watts/ (m<sup>2</sup> \* sr \* μm))

ML = Radiance multiplicative Band (No.)

AL = Radiance Add Band (No.)

Qcal = Quantized and calibrated standard product pixel values  
(DN)

• استخراج درجة حرارة الحزمة ١٠، ١١ :

بعد استخراج درجة الاشعاع لحزمتي ١٠ - ١١ يتم تحويل النتائجين إلى درجة السطوع Brightness والتي تظهر درجة حرارة سطح الأرض ضمن كل حزمة ويتم ذلك من خلال المعادلة الآتية<sup>٤</sup> :

$$BT = K2 / \ln (k1 / L\lambda + 1) - 272.15$$

حيث أن:  
BT = Top of atmosphere brightness temperature  
(°C)

$L\lambda$  = TOA spectral radiance (Watts/( m<sup>2</sup> \* sr \* μm))

K1 = K1 Constant Band (No.)

K2 = K2 Constant Band (No.)

272.15 = Calvin Ratio

• استخراج درجة حرارة سطح الأرض

بعد الانتهاء من استخراج درجة السطوع لكل حزمة يتم استخدام أداة Cell Statistic للوصول إلى درجة حرارة سطح الأرض الحقيقية. وذلك يحصل بعد دمج

<sup>3</sup> D Anandababu, B M Purushothaman, Babu S. Suresh, Estimation of Land Surface Temperature using LANDSAT 8 Data International Journal of Advance Research, Ideas and Innovations in Technology. (Volume 4, Issue 2) 2018.ISSN: 2454-132X.p179.

<sup>4</sup> Anbazhagoras., Paramasivam C.R. Statistical correlation between LST and NDVI using Landsat TM. International Journal of advanced Earth Sciences and Engineering. 2016. V.5. Issn: 2320. P 360

**التحليل المكاني لمقارنة نموذجي الاستكمال المكاني**  
درجة حرارة السطوع للحزمتين ١٠، ١١ ثم تقوم الأداة باحتساب متوسط القيمة لكل خلية في كل حزمة<sup>٦</sup>، وتنتج الخريطة الحرارية للمنطقة.

**٢-٢-١ نموذج استخراج الخرائط الحرارية لسطح الأرض وفق تقنية IDW**  
تعتبر تقنية Weighted Inverse Distance (IDW) احدي طرق نظرية الاستكمال المكاني لإنشاء خرائط التنبؤ خصوصاً للمناطق التي لا تتوفر البيانات فيها<sup>٧</sup>. تتركز فكرتها بالدرجة الأولى على قانون توبير (القانون الأول في الجغرافيا) التي تنص: ((كل ظاهرة لها علاقة بالظواهر الأخرى، ولكن الظواهر المتقاربة هي أكثر علاقة من المتباعدة)).<sup>٨</sup> إن النموذج يعتمد كلياً على المسافة بين وحدات الظاهرة ف تكون درجات الحرارة في المناطق القرية من بعضها متقاربة، وتخالف بخلاف المسافة، بحيث يعطي وزناً أكبر للنقاط القرية و تقل قيمة الوزن مع ازدياد المسافة.<sup>٩</sup> تتواجد أدلة IDW ضمن صندوق الأدوات في برنامج ArcGIS 10.4.1.

## ٤ - النتائج والمناقشة:

- ٤-١ نتائج نموذج (LST):** تشير الخارطة (٢) إلى درجات الحرارة في محافظة دهوك بتاريخ ٢٠١٦/١١ في الساعة ٤٥:٧ صباحاً إلى:
- تتحضر درجات الحرارة في عموم مساحة المحافظة بين أدنى درجة مئوية ٢٠ وأعلى درجة مئوية ٢٨.٧.
  - يلاحظ أن الدرجات المرتفعة تظهر في المناطق السهلية في جنوب وجنوب غرب المحافظة، بينما تتركز الدرجات المنخفضة في الشمال والشمال الشرقي حيث المرتفعات خصوصاً في منطقة ئاميدي وكاني ماصي.
  - بعد مقارنة قيمة النموذج مع درجات الحرارة للمحطات التي تقيس الحرارة وبالغ عددها ٨ محطة نرى أن هناك تقارب كبير بينهما، الجدول (١)، حيث أن معدل الفارق بين قيمة النموذج و درجات الحرارة الحقيقة يبلغ (٠.٢٧) درجة مئوية.

<sup>٥</sup> Daniela Cristiana Docan, ArcGIS for Desktop Cook book, PACKT Publishing. 2015. P205.

<sup>٦</sup> د. علي عبد عباس العزاوي، الأساليب الكمية الإحصائية في الجغرافية، دار البيازوري العلمية للنشر والتوزيع، عمان، الأردن، ٢٠١٨، ص ١٨٨.

<sup>٧</sup> Manuel Grimond, Introduction to GIS and Spatial Analysis, 2019. Chapter 14.

[www.gimond.github.io/chapter14](http://www.gimond.github.io/chapter14).

<sup>٨</sup> نشوان شكري هروري، سكان محافظة دهوك ١٩٤٧ – ٢٠٠٦ اتجاهات النمو و طبيعة التوزيع، مطبعة هاشم، أربيل ٢٠١٢، ص ٦٥.

أ.م. د. مزكين محمد حسن أ: ريدار نبيل عبدالرحمن  
 الجدول (١) مقارنة قيم نموذج LST مع درجات الحرارة في محطات الأنواء  
 الجوية في محافظة دهوك ٢٠١٦

المحطة	قيم نموذج LST	درجات الحرارة في المحطة	الفارق
دهوك	٢٥.٨	٢٦	٠.٢
راخو	٢٤.٦	٢٥	٠.٤
ئاكرى	٢٧.٤	٢٨	٠.٦
ئاميدى	٢٣.١	٢٣	٠.١
بامرنى	٢٤	٢٤	-
كانى ماصى	٢٢.٥	٢٣	٠.٥
مانكىش	٢٨.١	٢٨	٠.١
زاويته	٢٣.٧	٢٤	٠.٣
<b>المعدل</b>			<b>٠.٢٧</b>

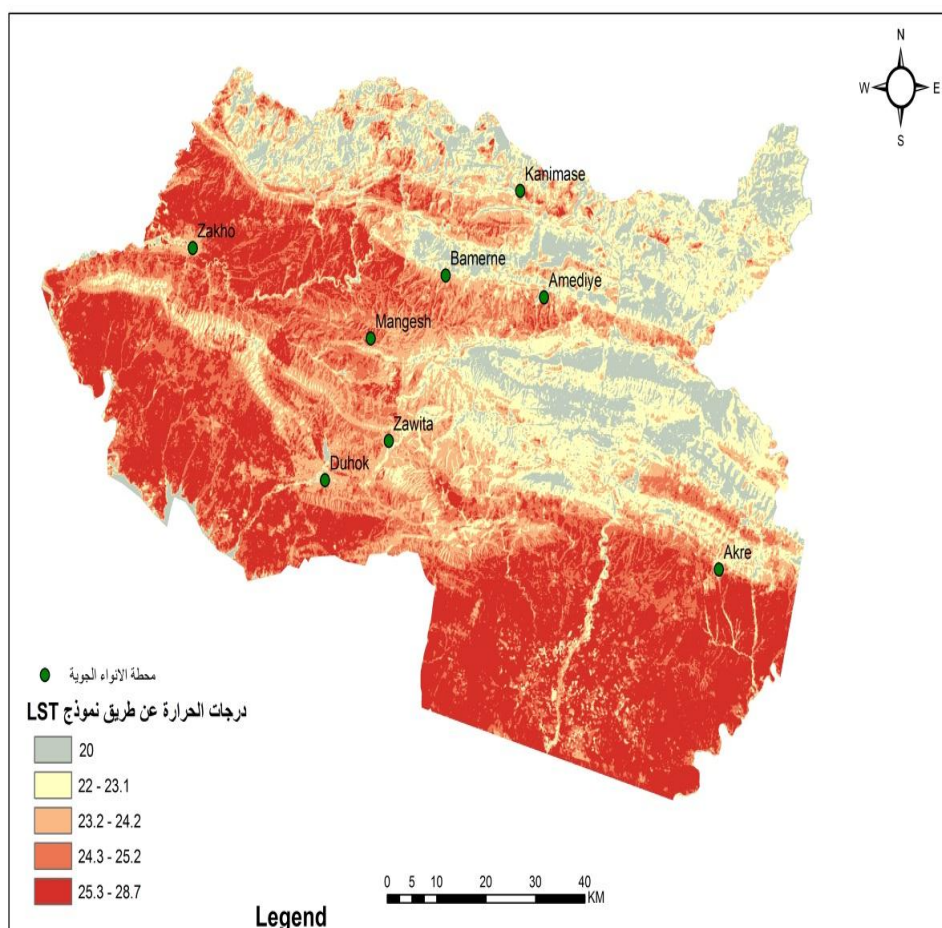
المصدر : عمل الباحثين بالاعتماد على بيانات مديرية الانواء الجوية في محافظة دهوك | قسم المناخ، بيانات غير منشورة.

## التحليل المكاني لمقارنة نموذجي الاستكمال المكاني

الخارطة رقم (٢) درجات الحرارة في محافظة دهوك وفق نموذج LST

المصدر: عمل الباحثين

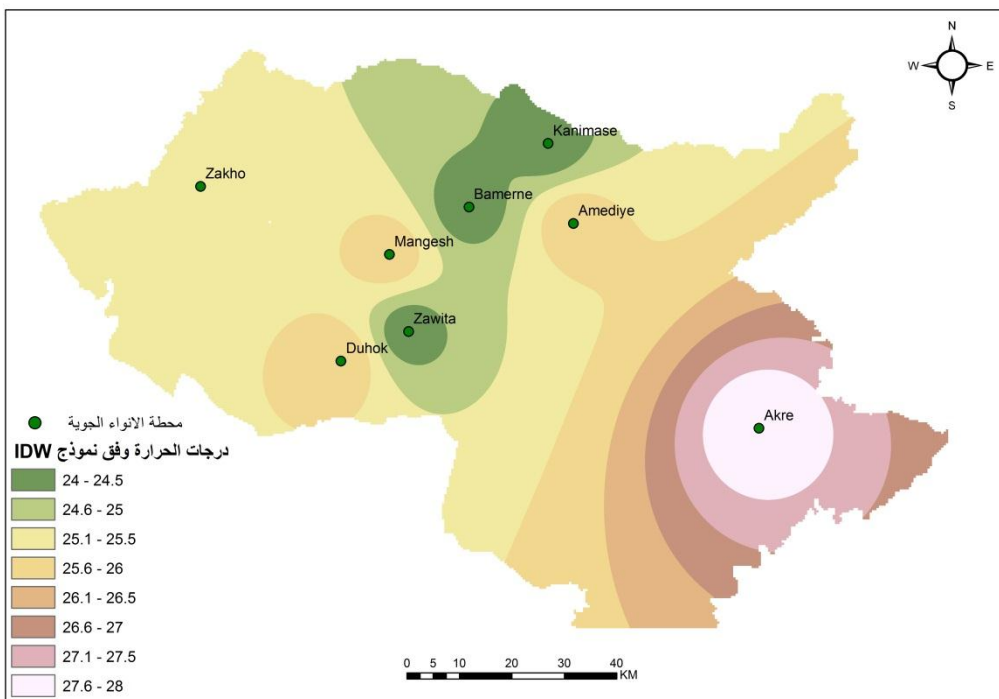
٢-٢ نتائج نموذج IDW:



من الخارطة (٣) نستنتج ما يلي :

- تظهر في النموذج مناطق حرارية واسعة في المساحة أكثر مما هي موجودة في النموذج السابق، تبدأ من أدنى درجة ٢٤ درجة مئوية إلى أعلى درجة ٢٨ مئوية.
- يقل التنوع الحراري في الخارطة حيث أن الفئة الواحدة تسود على منطقة واسعة و على عكس النموذج السابق حيث أن التنوع الحراري كان متواجداً

أ.م. د. مزكين محمد حسن أ: ريدار نبيل عبدالرحمن  
 في المناطق القريبة من بعضها. ويرجع ذلك الى قلة عدد المحطات اذ كلما  
 كانت المحطات أكثر كانت الدقة في النموذج أفضل.



## التحليل المكاني لمقارنة نموذجي الاستكمال المكاني

### ٣-٢ مقارنة نموذج LST و نموذج IDW

نموذج IDW	نموذج LST
يتم استخدام بيانات محطات الانواء الجوية	يرتكز النموذج على الحزمتين الحراريتين Thermal Bands 10,11
يتم رصد درجات الحرارة في المحطة على ارتفاع مترين من السطح.	يتم رصد درجة الحرارة من الانعكاس المباشر للأجسام على سطح الأرض
يتم انتاج النموذج على أن السطح أملس و يعتمد على المسافة بين أماكن المحطات.	تؤخذ تصارييس الأرض بنظر الاعتبار
يمكن انشاء النموذج حسب توفر البيانات، اذ من الممكن انتاج الخرائط اليومية و حتى على مستوى الساعة.	من عيوب هذا النموذج افتقاره لاستمرار مسح الأرض اذ يدور القمر الاصطناعي حول الأرض خلال أسبوعين ليصل الى نفس المنطقة. وهذا يؤثر على عدم توفر البيانات لأغلب أيام السنة.
سهولة الاستخدام، لأن النموذج جاهز في اداة IDW ضمن برنامج ArcGIS.	يعتبر هذا النموذج معقدا نسبيا في الوصول الى نتائجه، حيث يتم استخدام معادلات فيزيائية بالإضافة الى الدقة العالية في كتابة تلك المعادلات.
تعطي النتائج نظرة شاملة عن حالة درجات الحرارة في منطقة الدراسة.	تكون نتائجه أكثر واقعية بل و حقيقة و كلما كانت دقة الصورة أفضل كانت النتائج أدق.

1. Jimenez.Munuz, J.C, Sobrino, J.A. A generalized single channel method for retrieving land surface temperature from remote sensing data. H. geophys. Res. Atmos.v.108 Issn D22. 2014
2. Cook, M., & Schott, J. R. (2014). Atmospheric Compensation for a Landsat Land Surface Temperature Product. Landsat Science Team Meeting, July 22-24, 2014; Corvallis, Oregon, USA.
3. Hulley, G. C., Hook, S. J., Abbott, E., Malakar, N., Islam, T., & Abrams, M. (2015). The ASTER Global Emissivity Dataset (ASTER GED): Mapping Earth's emissivity at 100-meter spatial scale. Geophysical Research Letters, 42(19).
4. Zanter, K. Landsat8 data users' handbook, ver.2, 2016. U.S.G.S.
- 5.1 D Anandababu, B M Purushothaman, Babu S. Suresh, Estimation of Land Surface Temperature using LANDSAT 8 Data International Journal of Advance Research, Ideas and Innovations in Technology. (Volume 4, Issue 2) 2018.ISSN: 2454-132X.
6. Anbazhagoras., Paramasivam C.R. Statistical correlation between LST and NDVI using Landsat TM. International Journal of advanced Earth Sciences and Engineering. 2016. V.5. Issn: 2320.
7. Daniela Cristiana Docan, ArcGIS for Desktop Coock book, PACKT Publishing. 2015.
٨. د. علي عبد عباس العزاوي، الأساليب الكمية الإحصائية في الجغرافيا، دار اليازوري العلمية للنشر والتوزيع، عمان، الأردن، ٢٠١٨.
9. Manuel Grimond, Introduction to GIS and Spatial Analysis, 2019. Chapter 14. www.gimond.github.10.
١٠. نشوان شكري هروري، سكان محافظة دهوك ١٩٤٧ - ٢٠٠٦ – ٢٠١٢ اتجاهات النمو و طبيعة التوزيع، مطبعة هاشم، أربيل.
١١. وزارة النقل و المواصلات، المديرية العامة للأنواء الجوية و رصد الزلازل، مديرية الأنواء الجوية في محافظة دهوك \ قسم المناخ.